

粒界拡散方程式〔4〕

UDC 539.219.3
548.526

— 積分量と平均量 —

Equation of Grain Boundary Diffusion〔4〕

— Integrated and Mean Values —

梅津 清*・西川 精一*

Kiyoshi UMEZU and Seiichi NISHIKAWA

1. はじめに

体拡散実験における重要なデータ解析法に「切断法」と「残留法」がある。しかし粒界拡散実験では、多結晶を別にすれば等高線に類する手法（粒界侵入距離測定、角度測定等も含む）が主流で、今のところ上記2法はあまり用いられていない。なぜなら興味あるのは粒界拡散とこれを挟む2 grainの方位関係であり、その場合直径数mm～数cmの試料において粒界は（多葉でなく）ただ一葉でなければならず、測定可能な濃度分布領域は数10～数100 μ程度にすぎない。したがって目的とする測定強度が微小なために大部分は体拡散とBack-groundに埋没してしまい、その正確な分離解析に難があるからである。

しかし、X線マイクロアナライザによる走査線測定等によって切断法的解析が一部可能である。そして将来残留法でも解析可能になることを想定して、これら2法の解析法をまとめた。

2. 基礎式の再定義

これまで、 u , u_0 等の記号はgr/cm³, atom/cm³等の単位として用いてきた。ここでは、

$$\frac{u}{u_{\text{pure}}} = c, \quad \frac{u_0}{u_{\text{pure}}} = c_0$$

$$\frac{M_0}{u_{\text{pure}} \sqrt{Dt + \Omega^2}} = \frac{N_0}{\sqrt{Dt + \Omega^2}} = n_0$$

$$N(x, y, t) = \int_y^\infty c(x, y', t) dy'$$

$$n(x, y) = \int_\eta^\infty c(\xi, \eta') d\eta'$$

等と置き換える。この置き換えによって、 c は無次元量になるけれども、前回までと全く同形であることはいうまでもない。

今回は計8種類の基礎式を定義したが、今回はさらに2種類加えて

$$q, w, s, p, r, Q_2, W_2, S_2, P_2, R_2$$

の10種類であり、これらを再定義して表1に示した。粒界拡散での切断法および残留法に関係するのは主として後者の5種類である。

再定義した理由は、Fisher¹⁾の解

$$\begin{cases} c = c_0 w_F \\ w_F = \exp\left(\frac{-\eta}{\sqrt{\pi\beta}}\right) \operatorname{erfc}\left(\frac{\xi}{2}\right) \end{cases} \quad (1)$$

による基礎式が、このグラフ系で見かけ上一価函数であるようにするためである（前回の定義では w_F 以外は多

価）。これによって $\eta/\sqrt{\beta}$ プロットはコンパクトになり、解の性質がいっそう明瞭になる。

3. 積分量および平均量

図に示した帯状領域 $0 \sim x$ において、 y' 軸（粒界）に

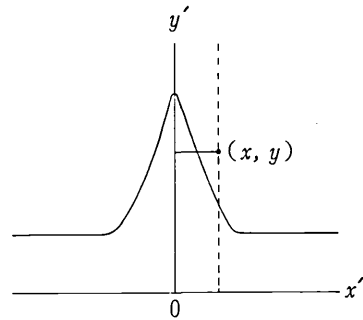


図1 等高線と帯状領域

垂直な線分上の積分量は

$$\int_0^x c(x', y, t) dx' \approx \int_a^x c(x', y, t) dx'$$

$$= (x-a) c_1(y, t) + \int_a^x c_2(x', y, t) dx' \quad (2)$$

である。したがって平均量は

$$\begin{cases} \bar{c}(x, y, t) = \frac{1}{(x-a)} \int_a^x c(x', y, t) dx' \\ \quad = c_1(y, t) + \bar{c}_2(x, y, t) \end{cases} \quad (3)$$

$$\bar{c}_2(x, y, t) = \frac{1}{(x-a)} \int_a^x c_2(x', y, t) dx' \quad (4)$$

と書き表される。同様に相対形式に関する積分量および平均量を

$$\int_0^\xi c(\xi', \eta) d\xi' = \xi c_1(\eta) + \int_0^\xi c_2(\xi', \eta) d\xi' \quad (5)$$

$$\begin{cases} \bar{c}(\xi, \eta) = \frac{1}{\xi} \int_0^\xi c(\xi', \eta) d\xi' \\ \quad = c_1(\eta) + \bar{c}_2(\xi, \eta) \end{cases} \quad (6)$$

$$\bar{c}_2(\xi, \eta) = \frac{1}{\xi} \int_0^\xi c_2(\xi', \eta) d\xi' \quad (7)$$

と定義する。記号 ξ , η その他に関しては前回と同じである。

ここでは平均（残）量に着目して、前回と同様な形式にまとめて表2に示した。表1は、粒界拡散項の ξ 方向に関する残量 Q_2, W_2, S_2, P_2, R_2 を用いて、帯状領域 $(0 \sim \xi)$ 内の平均量 $\bar{q}, \bar{w}, \bar{s}, \bar{p}, \bar{r}$ をまとめたものである。ただし、

* 東京大学生産技術研究所 第4部

研究速報

表1 基礎式のまとめ

| | | |
|--|--|---|
| $q(\xi, \eta) = q_1(\eta) + q_2(\xi, \eta)$ $\bar{q}(\xi, \eta) = q_1(\eta) + \bar{q}_2(\xi, \eta)$ | $q_1(\eta) = \frac{2}{\sqrt{\beta}} \operatorname{ierfc} \left(\frac{\eta}{2} \right)$ $\bar{q}_2(\xi, \eta) = \frac{Q_2(0, \eta) - Q_2(\xi, \eta)}{\xi}$ | $f(\eta, \sigma) = 2 \sqrt{\frac{\sigma}{\beta}} \operatorname{ierfc} \left(\frac{\eta}{2\sqrt{\sigma}} \right)$ |
| $w(\xi, \eta) = w_1(\eta) + w_2(\xi, \eta)$ $\bar{w}(\xi, \eta) = w_1(\eta) + \bar{w}_2(\xi, \eta)$ | $w_1(\eta) = \operatorname{erfc} \left(\frac{\eta}{2} \right)$ $\bar{w}_2(\xi, \eta) = \frac{W_2(0, \eta) - W_2(\xi, \eta)}{\xi}$ | $f(\eta, \sigma) = \operatorname{erfc} \left(\frac{\eta}{2\sqrt{\sigma}} \right)$ |
| $s(\xi, \eta) = s_1(\eta) + s_2(\xi, \eta)$ $\bar{s}(\xi, \eta) = s_1(\eta) + \bar{s}_2(\xi, \eta)$ | $s_1(\eta) = \sqrt{\frac{\beta}{\pi}} \exp \left(\frac{-\eta^2}{4} \right)$ $\bar{s}_2(\xi, \eta) = \frac{S_2(0, \eta) - S_2(\xi, \eta)}{\xi}$ | $f(\eta, \sigma) = \sqrt{\frac{\beta}{\pi\sigma}} \exp \left(\frac{-\eta^2}{4\sigma} \right)$ |
| $p(\xi, \eta) = p_1(\eta) + p_2(\xi, \eta)$ $\bar{p}(\xi, \eta) = p_1(\eta) + \bar{p}_2(\xi, \eta)$ | $p_1(\eta) = \frac{\beta\eta}{2\sqrt{\pi}} \exp \left(\frac{-\eta^2}{4} \right)$ $\bar{p}_2(\xi, \eta) = \frac{P_2(0, \eta) - P_2(\xi, \eta)}{\xi}$ | $f(\eta, \sigma) = \frac{\beta\eta}{2\sqrt{\pi\sigma^3}} \exp \left(\frac{-\eta^2}{4\sigma} \right)$ |
| $r(\xi, \eta) = r_1(\eta) + r_2(\xi, \eta)$ $\bar{r}(\xi, \eta) = r_1(\eta) + \bar{r}_2(\xi, \eta)$ | $r_1(\eta) = \frac{1}{2} \sqrt{\frac{\beta^2}{\pi}} \left(\frac{\eta^2}{2} - 1 \right) \exp \left(\frac{-\eta^2}{4} \right)$ $\bar{r}_2(\xi, \eta) = \frac{R_2(0, \eta) - R_2(\xi, \eta)}{\xi}$ | $f(\eta, \sigma) = \frac{1}{2} \sqrt{\frac{\beta^2}{\pi\sigma^3}} \left(\frac{\eta^2}{2} - 1 \right) \exp \left(\frac{-\eta^2}{4\sigma} \right)$ |
| $q_2, w_2, s_2, p_2, r_2 = \int_1^{\eta} \left[\frac{d}{d\sigma} f(\eta, \sigma) \right] g_d(\xi, \sigma) d\sigma$ $Q_2, W_2, S_2, P_2, R_2 = \int_1^{\eta} \left[\frac{d}{d\sigma} f(\eta, \sigma) \right] G_d(\xi, \sigma) d\sigma$ | | $g_d(\xi, \sigma) = \operatorname{erfc} \left[\frac{\delta_d(\sigma)}{2} \left(\xi + \frac{\sigma-1}{\beta} \right) \right]$ $G_d(\xi, \sigma) = \frac{2}{\delta_d(\sigma)} \operatorname{ierfc} \left[\frac{\delta_d(\sigma)}{2} \left(\xi + \frac{\sigma-1}{\beta} \right) \right]$ $\delta_d(\sigma) = \sqrt{\frac{d-1}{d-\sigma}}, \quad \delta_\infty(\sigma) = 1$ |

表2 帯状領域内の平均量

| 実形式 | 相対形式 | 基礎解 (ours) | 漸近解 (Whipple-type) | 級数解 (Suzuoka-type) |
|---|---|--|--|--|
| $\bar{c}(x, y, t)$ | $\bar{c}(\xi, \eta)$ | $c_0[\bar{w}(\xi, \eta) - \bar{w}(\xi, \eta + 2\zeta)]$ | $c_0 \bar{w}(\xi, \eta)$ | $\frac{n_0}{\sqrt{\beta}} \bar{s}(\xi, \eta)$ |
| $\bar{c}(\infty, h, t)$ | $\bar{c}(\infty, 0)$ | $c_0 \operatorname{erf}(2\zeta)$ | c_0 | $\frac{n_0}{\sqrt{\pi}}$ |
| $\frac{\bar{c}(x, y, t)}{\bar{c}(\infty, h, t)}$ | $\frac{\bar{c}(\xi, \eta)}{\bar{c}(\infty, 0)}$ | $\frac{\bar{w}(\xi, \eta) - \bar{w}(\xi, \eta + 2\zeta)}{\operatorname{erf}(2\zeta)}$ | $\bar{w}(\xi, \eta)$ | $\sqrt{\frac{\pi}{\beta}} \bar{s}(\xi, \eta)$ |
| $\sqrt{\beta(Dt + Q^2)} \frac{\partial}{\partial y} \bar{c}(x, y, t)$ | $\sqrt{\beta} \frac{\partial}{\partial \eta} \bar{c}(\xi, \eta)$ | $-c_0[\bar{s}(\xi, \eta) - \bar{s}(\xi, \eta + 2\zeta)]$ | $-c_0 \bar{s}(\xi, \eta)$ | $-\frac{n_0}{\sqrt{\beta}} \bar{p}(\xi, \eta)$ |
| $\beta(Dt + Q^2) \frac{\partial^2}{\partial y^2} \bar{c}(x, y, t)$ | $\beta \frac{\partial^2}{\partial \eta^2} \bar{c}(\xi, \eta)$ | $c_0[\bar{p}(\xi, \eta) - \bar{p}(\xi, \eta + 2\zeta)]$ | $c_0 \bar{p}(\xi, \eta)$ | $\frac{n_0}{\sqrt{\beta}} \bar{r}(\xi, \eta)$ |
| $\frac{\bar{N}(x, y, t)}{\sqrt{\beta(Dt + Q^2)}}$ | $\frac{\bar{n}(\xi, \eta)}{\sqrt{\beta}}$ | $c_0[\bar{q}(\xi, \eta) - \bar{q}(\xi, \eta + 2\zeta)]$ | $c_0 \bar{q}(\xi, \eta)$ | $\frac{n_0}{\sqrt{\beta}} \bar{w}(\xi, \eta)$ |
| $\frac{\bar{N}(\infty, h, t)}{\sqrt{\beta(Dt + Q^2)}}$ | $\frac{\bar{n}(\infty, 0)}{\sqrt{\beta}}$ | $\frac{2c_0}{\sqrt{\pi\beta}} [1 - \operatorname{ierfc}(\zeta)]$ | $\frac{2c_0}{\sqrt{\pi\beta}}$ | $\frac{n_0}{\sqrt{\beta}}$ |
| $\frac{\bar{N}(x, y, t)}{\bar{N}(\infty, h, t)}$ | $\frac{\bar{n}(\xi, \eta)}{\bar{n}(\infty, 0)}$ | $\frac{\sqrt{\pi\beta}[\bar{q}(\xi, \eta) - \bar{q}(\xi, \eta + 2\zeta)]}{2[1 - \operatorname{ierfc}(\zeta)]}$ | $\frac{\sqrt{\pi\beta}}{2} \bar{q}(\xi, \eta)$ | $\bar{w}(\xi, \eta)$ |
| $\frac{\partial}{\partial y} \bar{N}(x, y, t)$ | $\frac{\partial}{\partial \eta} \bar{n}(\xi, \eta)$ | $-c_0[\bar{w}(\xi, \eta) - \bar{w}(\xi, \eta + 2\zeta)]$ | $-c_0 \bar{w}(\xi, \eta)$ | $-\frac{n_0}{\sqrt{\beta}} \bar{s}(\xi, \eta)$ |
| $\sqrt{\beta(Dt + Q^2)} \frac{\partial^2}{\partial y^2} \bar{N}(x, y, t)$ | $\sqrt{\beta} \frac{\partial^2}{\partial \eta^2} \bar{n}(\xi, \eta)$ | $c_0[\bar{s}(\xi, \eta) - \bar{s}(\xi, \eta + 2\zeta)]$ | $c_0 \bar{s}(\xi, \eta)$ | $\frac{n_0}{\sqrt{\beta}} \bar{p}(\xi, \eta)$ |
| $\sqrt{\beta(Dt + Q^2)} \frac{\partial}{\partial y} \ln \bar{c}$ | $\sqrt{\beta} \frac{\partial}{\partial \eta} \ln \bar{c}$ | $\frac{\bar{s}(\xi, \eta) - \bar{s}(\xi, \eta + 2\zeta)}{\bar{w}(\xi, \eta) - \bar{w}(\xi, \eta + 2\zeta)}$ | $-\frac{\bar{s}(\xi, \eta)}{\bar{w}(\xi, \eta)}$ | $-\frac{\bar{p}(\xi, \eta)}{\bar{s}(\xi, \eta)}$ |
| $\sqrt{\beta(Dt + Q^2)} \frac{\partial}{\partial y} \ln \bar{N}$ | $\sqrt{\beta} \frac{\partial}{\partial \eta} \ln \bar{N}$ | $-\frac{\bar{w}(\xi, \eta) - \bar{w}(\xi, \eta + 2\zeta)}{\bar{q}(\xi, \eta) - \bar{q}(\xi, \eta + 2\zeta)}$ | $-\frac{\bar{w}(\xi, \eta)}{\bar{q}(\xi, \eta)}$ | $-\frac{\bar{s}(\xi, \eta)}{\bar{w}(\xi, \eta)}$ |
| $\sqrt{\beta(Dt + Q^2)} \frac{\partial}{\partial y} \ln \left(\frac{\partial \bar{c}}{\partial y} \right)$ | $\sqrt{\beta} \frac{\partial}{\partial \eta} \ln \left(\frac{\partial \bar{c}}{\partial \eta} \right)$ | $-\frac{\bar{p}(\xi, \eta) - \bar{p}(\xi, \eta + 2\zeta)}{\bar{s}(\xi, \eta) - \bar{s}(\xi, \eta + 2\zeta)}$ | $-\frac{\bar{p}(\xi, \eta)}{\bar{s}(\xi, \eta)}$ | $-\frac{\bar{r}(\xi, \eta)}{\bar{p}(\xi, \eta)}$ |
| $\sqrt{\beta(Dt + Q^2)} \frac{\partial}{\partial y} \ln \left(\frac{\partial \bar{N}}{\partial y} \right)$ | $\sqrt{\beta} \frac{\partial}{\partial \eta} \ln \left(\frac{\partial \bar{N}}{\partial \eta} \right)$ | $-\frac{\bar{s}(\xi, \eta) - \bar{s}(\xi, \eta + 2\zeta)}{\bar{w}(\xi, \eta) - \bar{w}(\xi, \eta + 2\zeta)}$ | $-\frac{\bar{s}(\xi, \eta)}{\bar{w}(\xi, \eta)}$ | $-\frac{\bar{p}(\xi, \eta)}{\bar{s}(\xi, \eta)}$ |

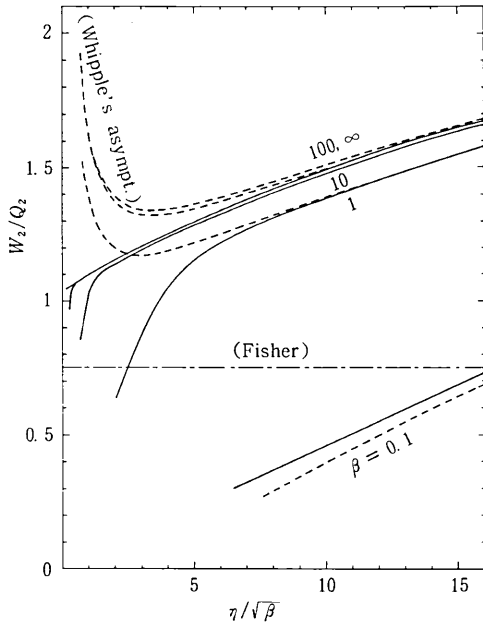


図2 $d \rightarrow \infty, \xi = 0$ における W_2/Q_2 のプロファイル

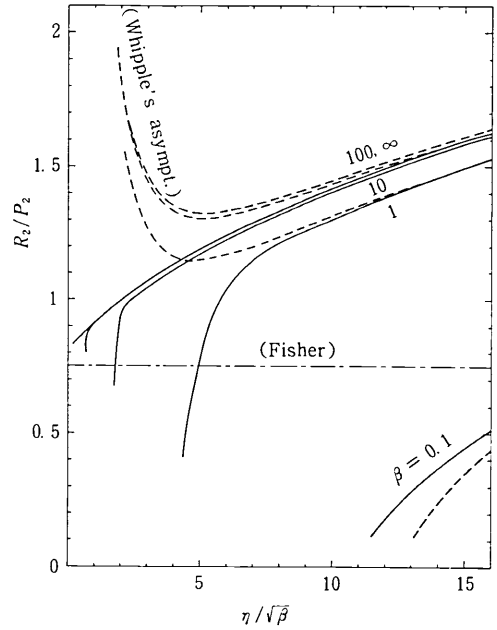


図3 $d \rightarrow \infty, \xi = 0$ における R_2/P_2 のプロファイル

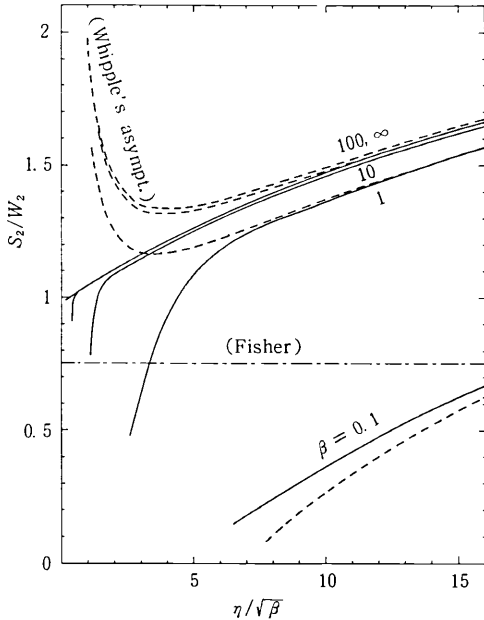


図4 $d \rightarrow \infty, \xi = 0$ における S_2/W_2 のプロファイル

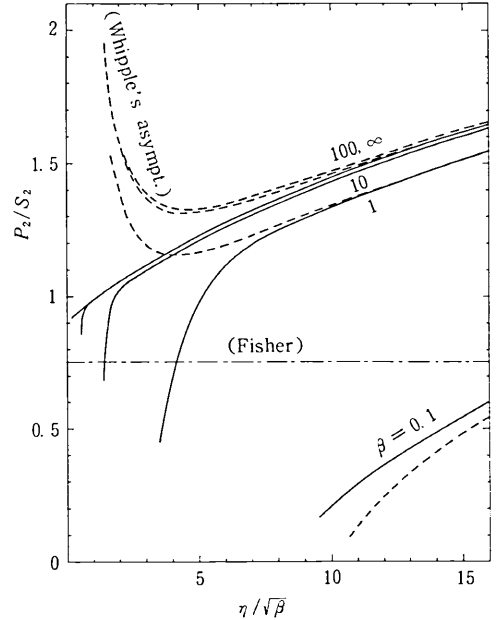


図5 $d \rightarrow \infty, \xi = 0$ における P_2/S_2 のプロファイル

$$Q_2(\xi, \eta) = \int_{\xi}^{\infty} q_2(\xi', \eta) d\xi'$$

$$\bar{q}_2(\xi, \eta) = \frac{1}{\xi} \int_0^{\xi} q_2(\xi', \eta) d\xi' \\ = \frac{Q_2(0, \eta) - Q_2(\xi, \eta)}{\xi}$$

であり、 W_2, \bar{w}_2 その他も同様である。また平均残量

$$\bar{N}(x, y, t) = \frac{1}{(x-a)} \int_a^x N(x', y, t) dx'$$

$$= \int_{\eta}^{\infty} \bar{c}(x, y', t) dy'$$

$$\bar{n}(\xi, \eta) = \frac{1}{\xi} \int_0^{\xi} n(\xi', \eta) d\xi' = \int_{\eta}^{\infty} \bar{c}(\xi, \eta') d\eta'$$

であることも前回と同形である。

4. データ解析法およびグラフについて

ξ が大 (または β が大) なる場合は $Q_2(\xi, \eta), W_2(\xi, \eta), S_2(\xi, \eta), P_2(\xi, \eta), R_2(\xi, \eta) \approx 0$ としてよいから、平均量は

研究速報

$$\bar{q}(\xi, \eta) = \frac{1}{\xi} \int_0^\xi q(\xi', \eta) d\xi' \\ \approx q_1(\eta) + \frac{Q_2(0, \eta)}{\xi}, \text{ etc.}$$

である。さらに体拡散が消滅するような領域 (η または β が大) では

$$\bar{q}(\xi, \eta) \approx \bar{q}_2(\xi, \eta) \approx \frac{Q_2(0, \eta)}{\xi} \approx Q_2(0, \eta),$$

etc.

であるから、 $Q_2(0, \eta)$, $W_2(0, \eta)$, $S_2(0, \eta)$, $P_2(0, \eta)$, $R_2(0, \eta)$ は基礎的である。しかしこれらのグラフは省略した。

次に、解の傾向を調べるためにさして重要でない定数 c_0 または N_0 を消去する。

1) 測定データから Back-ground (以下 BG と略す) が効果的な方法で決定できる場合。

切断法では、測定値 $Y_1(y)$ および BG $B_1(y)$ と解析解との対応は

$$Y_1(y) - B_1(y) \propto \int_a^x c(x', y, t) dx' \\ = (x-a) \bar{c}(x, y, t)$$

であり、その対数微分をとり変形すると

$$-\sqrt{\beta(Dt + Q^2)} \frac{\partial}{\partial y} \ln [Y_1(y) - B_1(y)] \\ = \frac{\bar{s}(\xi, \eta)}{\bar{w}(\xi, \eta)} \approx \frac{\bar{s}_2(\xi, \eta)}{\bar{w}_2(\xi, \eta)} \approx \frac{S_2(0, \eta)}{W_2(0, \eta)} \dots \text{W} \\ = \frac{\bar{p}(\xi, \eta)}{\bar{s}(\xi, \eta)} \approx \frac{\bar{p}_2(\xi, \eta)}{\bar{s}_2(\xi, \eta)} \approx \frac{P_2(0, \eta)}{S_2(0, \eta)} \dots \text{S}$$

と表すことができる。ただし W, S はそれぞれ Whipple-type, Suzuoka-type の意味である。

残留法に対しては、測定値 $Y_2(y)$ および BG $B_2(y)$ と解析解の反応は

$$Y_2(y) - B_2(y) \propto \int_y^\infty dy' \int_a^x c(x', y', t) dx' \\ = (x-a) \bar{N}(x, y, t)$$

であるから

$$-\sqrt{\beta(Dt + Q^2)} \frac{\partial}{\partial y} \ln [Y_2(y) - B_2(y)] \\ = \frac{\bar{w}(\xi, \eta)}{\bar{q}(\xi, \eta)} \approx \frac{\bar{w}_2(\xi, \eta)}{\bar{q}_2(\xi, \eta)} \approx \frac{W_2(0, \eta)}{Q_2(0, \eta)} \dots \text{W}$$

$$= \frac{\bar{s}(\xi, \eta)}{\bar{w}(\xi, \eta)} \approx \frac{\bar{s}_2(\xi, \eta)}{\bar{w}_2(\xi, \eta)} \approx \frac{S_2(0, \eta)}{W_2(0, \eta)} \dots \text{S}$$

である。

2) 測定データからは BG が決定できなくても、この BG を定数としてよいことが分かっている場合。この場合は、 c_0 または N_0 の他に BG も消去しなければならない。したがって微分対数微分である。

切断法では

$$-\sqrt{\beta(Dt + Q^2)} \frac{\partial}{\partial y} \ln \left[\frac{\partial}{\partial y} \{Y_3(y) - B_3\} \right] \\ = \frac{\bar{p}(\xi, \eta)}{\bar{s}(\xi, \eta)} \approx \frac{\bar{p}_2(\xi, \eta)}{\bar{s}_2(\xi, \eta)} \approx \frac{P_2(0, \eta)}{S_2(0, \eta)} \dots \text{W} \\ = \frac{\bar{r}(\xi, \eta)}{\bar{p}(\xi, \eta)} \approx \frac{\bar{r}_2(\xi, \eta)}{\bar{p}_2(\xi, \eta)} \approx \frac{R_2(0, \eta)}{P_2(0, \eta)} \dots \text{S}$$

また残留法では

$$-\sqrt{\beta(Dt + Q^2)} \frac{\partial}{\partial y} \ln \left[\frac{\partial}{\partial y} \{Y_4(y) - B_4\} \right] \\ = \frac{\bar{s}(\xi, \eta)}{\bar{w}(\xi, \eta)} \approx \frac{\bar{s}_2(\xi, \eta)}{\bar{w}_2(\xi, \eta)} \approx \frac{S_2(0, \eta)}{W_2(0, \eta)} \dots \text{W} \\ = \frac{\bar{p}(\xi, \eta)}{\bar{s}(\xi, \eta)} \approx \frac{\bar{p}_2(\xi, \eta)}{\bar{s}_2(\xi, \eta)} \approx \frac{P_2(0, \eta)}{S_2(0, \eta)} \dots \text{S}$$

と表される。

これらのグラフ計4種類を、Fisher¹⁾および Whippleの近似解²⁾と並記して図に示した。また基礎解⁵⁾はこれらに準ずるので、説明は省略した。

一般に、粒界拡散の座標系はおおむね

$$(\eta/\sqrt{\beta})^k$$

であることが分かっている。体拡散の薄膜解 ($k=2$) に正確に対応する指数は存在しないけれども、近似的には $k=4/3, 6/5$ 等と与えられ、前者は漸近値として、後者は実用的な平均値として得られたものである。

5. Suzuokaの近似

Suzuoka^{3,4)} は近似式

$$-\frac{\partial \ln \bar{c}_2}{\partial (\eta/\sqrt{\beta})^{6/5}} = A\beta^i \text{ for } A \rightarrow \infty, \xi \rightarrow \infty$$

$$A = 0.7, i = 0.018 \text{ at } \beta = 1 \sim 100$$

$$A = 0.72, i = 0.008 \text{ at } \beta = 1 \sim 1,000$$

を与えた。これによる本題への転換は

$$-\sqrt{\beta} \frac{\partial \ln \bar{c}_2(\infty, \eta)}{\partial \eta} = \frac{P'_2(0, \eta)}{S'_2(0, \eta)} \\ = \frac{6A\beta^i}{5} \left(\frac{\eta}{\sqrt{\beta}} \right)^{1/5}$$

となり基礎式を与えることができる。この近似式は本来 Suzuoka の薄膜解を用いる切断法のための近似であるけれども、他の方法にも拡張でき、基礎式を用いてグラフによって示した。

(1978年1月27日受理)

参考文献

- 1) J.C. Fisher; J. Appl. Phys., 22 (1951) 74.
- 2) R. T. P. Whipple; Phil. Mag., 45 (1954) 1225.
- 3) T. Suzuoka; Trans. JIM, 2(1961) 25.
- 4) T. Suzuoka; J. Phys. Soc. Japan, 19 (1964) 839.
- 5) 梅津, 西川; 生産研究, 28 (1976) 447.

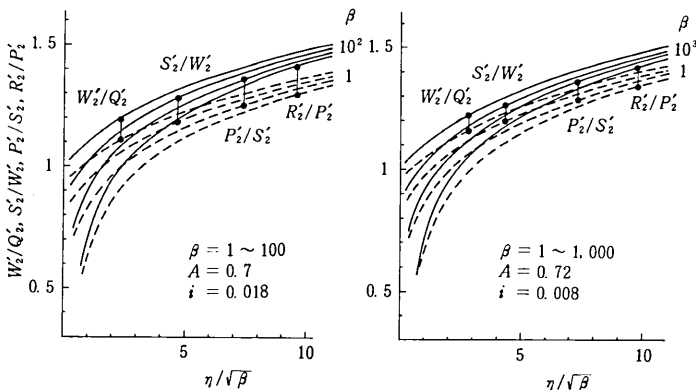


図6 Suzuoka近似式によるプロファイル